

例 2. $x \rightarrow +\infty$ 时 $\int_0^1 e^{ixt^2} dt$ 的完全渐近行为. 可以采用驻相法来求得积分

$I(x) = \int_0^1 e^{ixt^2} dt$ 的主要性态. 这里有 $\phi(t) = t^2$, 因此驻点位于 $t = 0$ 处. 这样,

利用式(6.5.12)可得 $I(x) \sim \frac{1}{2} \sqrt{\pi/x} e^{i\pi/4} (x \rightarrow +\infty)$. 最陡下降法可以更简便地确定出 $I(x)$ 的完全渐近行为. [这里亦可利用分部积分法(参见习题 6.57).]

如同例 1 那样, 我们试图将积分路径 $C: 0 \leq t \leq 1$ 变为 $\text{Im} \rho(t)$ 取常数的两条路径(在这里 $\rho(t) = it^2$). 我们首先要寻找一条通过 $t = 0$ 这点并使 $\text{Im} \rho(t)$ 为常数的路径. 令 $t = u + iv$ (u, v 为实数), 我们得到 $\text{Im} \rho(t) = u^2 - v^2$. 在 $t = 0$ 处 $\text{Im} \rho = 0$. 因此, 通过 $t = 0$ 点的等相位路径必定在沿着路径的任意处均满足 $u = v$ 或 $u = -v$ (参见图 6.6). 在路径 $u = -v$ 上 $\text{Re} \rho(t) = 2v^2$, 于是 $|e^{x\rho(t)}| = e^{2xv^2}$ 随着 $t = (i-1)v \rightarrow \infty$ 而增加. 这便是所谓的最陡上升路径. 由于在这条路径上 $|e^{x\rho(t)}|$ 没有极大值, 因而不能应用 Laplace 方法. 另一方面, 路径 $u = v$ 是一条最陡下降路径, 因为 $\text{Re} \rho(t) = -2v^2$, 于是 $|e^{x\rho(t)}| = e^{-2xv^2}$ 随着 $t = (1+i)v \rightarrow \infty$ 而下降. 路径 $C_1: t = (1+i)v$ ($0 \leq v < \infty$) 可以与例 1 中所采用的路径 C_1 相比拟.

其次, 我们必须找到一条通过 $t = 1$ 的最陡下降路径, 使得其上的 $\text{Im} \rho(t)$ 为常数. 在 $t = 1$ 处, $\text{Im} \rho(t)$ 的数值为 1. 因此, 通过 $u = 1, v = 0$ 的等相位路径由 $u = \sqrt{v^2 + 1}$ 给定. 由于 $\text{Re} \rho(t) = -2uv$ 在该等相位路径的 $0 \leq v < \infty$ 部分上随着 $t = u + iv \rightarrow \infty$ 而下降, 因此通过 $t = 1$ 的最陡下降路径由 $C_2: t = \sqrt{v^2 + 1} + iv$ ($0 \leq v < \infty$) 给定. 请注意, 当 $v \rightarrow +\infty$ 时 C_1 和 C_2 变成彼此相切(参见图 6.6).

下面的步骤则是将原始路径 $C: 0 \leq t \leq 1$ 变更为 $C_1 + C_2$, 其中 C_1 从 $t = \infty$ 到 $t = 1$. 沿着 C_1 $\text{Im} \rho(t) = 0$; 而沿着 C_2 则 $\text{Im} \rho(t) = 1$. 由于在 C_1 和 C_2 上 $\text{Im} \rho(t)$ 的数值不同, 原始路径显然不能连续地变为 $C_1 + C_2$. 相反, 我们必须再加上第三条路径 C_3 , 它连接起 C_1 和 C_2 之间的空隙. 我们取 C_3 为连接点 $(1+i)V$ (位于 C_1 上) 和点 $\sqrt{V^2 + 1} + iV$ (位于 C_2 上) 的直线(参见图 6.6). C 可以连续地变为 C_2 , 再加上 C_1 和 C_3 中满足 $0 \leq v < V$ 的两个部分. 这样, 当 $V \rightarrow \infty$ 时, 来自路径 C_3 的贡献就趋于零. (为什么?) 于是我们有

$$I(x) = \int_{C_1} e^{ixt^2} dt - \int_{C_2} e^{ixt^2} dt. \quad (6.6.5)$$

沿着 C_1 的积分可以精确地算出. 令 $t = (1+i)v$, 我们可得

$$\int_{C_1} e^{ixt^2} dt = (1+i) \int_0^\infty e^{-2xv^2} dv = \frac{1}{2} \sqrt{\frac{\pi}{x}} e^{i\pi/4}. \quad (6.6.6)$$

这个积分贡献恰好就是我们前面采用驻相法求得的 $x \rightarrow +\infty$ 时 $I(x)$ 的主要性态.

现在我们来计算沿路径 C_2 的积分对于 $I(x)$ 的贡献. 请注意, 如果我们作变换 $t = \sqrt{v^2 + 1} + iv$ ($0 \leq v < \infty$), 那么 $\rho(t) = it^2 = i - 2v \sqrt{v^2 + 1}$. 这样就证明了 C_2 是一条等相位曲线. 它也是一条最陡下降曲线. 寻求积分在 C_2 上完全渐近展开的简易方法是采用 Watson 引理. 为此, 必须将积分写成 $\int_0^\infty f(s) e^{-xs} ds$ 这种形式. 这样就启发人们将变量从 t 变为 s , 此处 s 的定义为

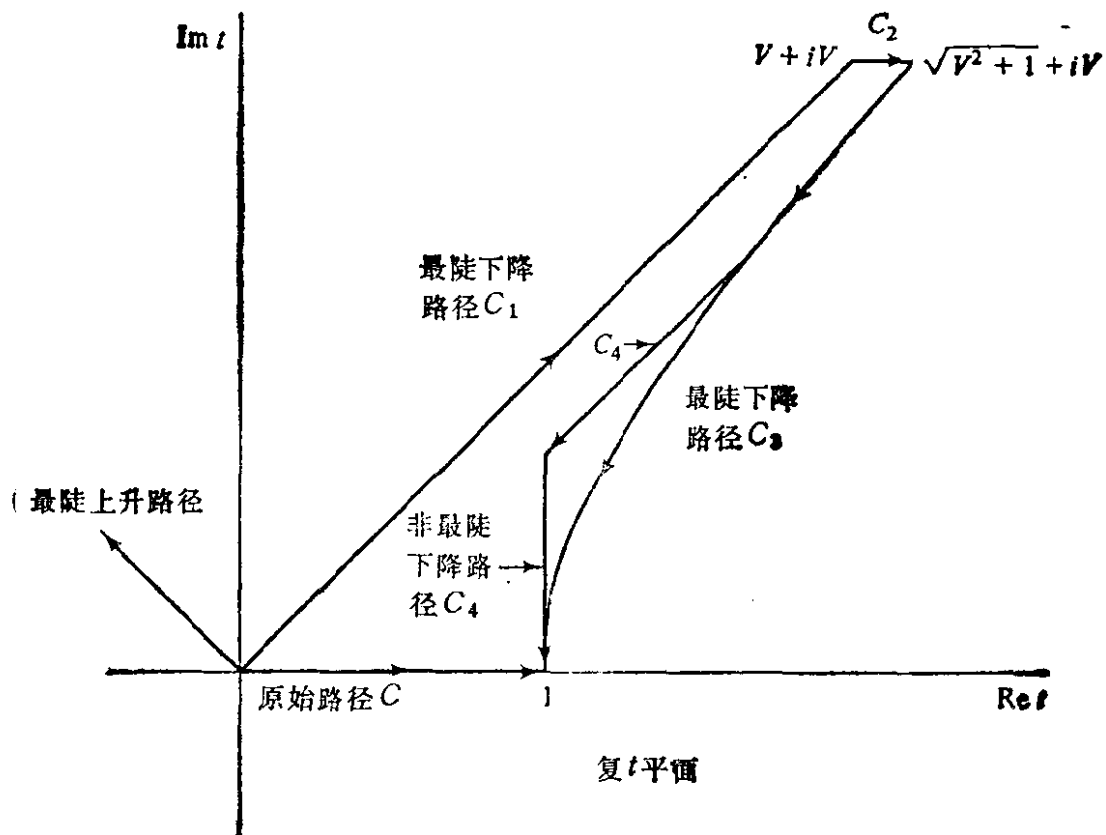


图 6.6 如果原始路径 C 分解为 $C_1 + C_2 + C_3$, 而且允许 V 趋向无穷大 (∞), 那么例 2 中的 Fourier 积分 $I(x)$ 就可以变成为一对 Laplace 积分. 为了简化沿着 C_3 的积分计算, 我们可以用 C_4 代替路径 C_3 中较低的曲线部分

$$\rho(t) = it^2 = i - s; \quad (6.6.7)$$

可以看到: $s = 2v \sqrt{v^2 + 1}$ 为实数并且在 C_3 上满足 $0 \leq s < \infty$. 由于 $t = (1 + is)^{1/2}$ 以及 $dt/ds = \frac{1}{2} i(1 + is)^{-1/2}$, 于是有

$$\int_{C_3} e^{ixt^2} dt = \frac{1}{2} i e^{ix} \int_0^\infty \frac{e^{-xs}}{\sqrt{1 + is}} ds.$$

为了应用 Watson 引理, 我们采用 Taylor 展开

$$(1 + is)^{-1/2} = \sum_{n=0}^{\infty} (-is)^n \Gamma\left(n + \frac{1}{2}\right) / n! \Gamma\left(\frac{1}{2}\right).$$

于是得到

$$\int_{C_3} e^{ixt^2} dt \sim \frac{1}{2} i e^{ix} \sum_{n=0}^{\infty} (-i)^n \frac{\Gamma\left(n + \frac{1}{2}\right)}{\Gamma\left(\frac{1}{2}\right) x^{n+1}}, \quad x \rightarrow +\infty. \quad (6.6.8)$$

将此结果与式(6.6.6)中的结果组合起来, 便给出 $x \rightarrow +\infty$ 时 $I(x)$ 的完全渐近展开

$$I(x) \sim \frac{1}{2} \sqrt{\frac{\pi}{x}} e^{ix/2} - \frac{1}{2} i e^{ix} \sum_{n=0}^{\infty} (-i)^n \frac{\Gamma\left(n + \frac{1}{2}\right)}{\Gamma\left(\frac{1}{2}\right) x^{n+1}}, \quad x \rightarrow +\infty. \quad (6.6.9)$$

最后,我们要提一下另外一种方法,它也可以得到式(6.6.8)中给出的沿 C_3 积分的结果. 式(6.6.7)中的变换是曲线 C_3 关于实参数 s 的准确的参数表示. 但是,正如我们在第 6.4 节中讨论 Laplace 方法时所知道的那样,只是直接同 $t=1$ 处极大值毗邻的区域才对于路径 C_3 上积分的完全渐近展开有贡献. 因此,无需严格地跟着曲线 C_3 , 完全可以将积分路径 C_3 改为另一条路径,只要后者满足三个条件: 依然通过 $t=1$ 处的极大值; 在 $|e^{xz(t)}|$ 下降的意义上讲依然是一条下降路径; 在 $|t|$ 充分大处重新同 C_3 相连接. 由于被积函数是解析的, 这样变更路径 C_3 并不会改变积分值. 对于本例而言, 替代 C_3 的最方便形式是路径 C_4 . 后者从 $t=1$ 出发, 平行于 t 虚轴垂直向上, 然后在上半个平面内的任意点处重新并入 C_3 (参见图 6.6). 对于积分的完全渐近展开有贡献的只是 C_4 在 $t=1$ 邻域内的那段垂直直线. 我们可以将 $t=1$ 附近的 C_4 直线部分参数化, 即用 $t=1+iv$ 来表示之(其中 v 为实数并且 $0 \leq v \leq \delta$, δ 为小量). 于是

$$\begin{aligned} \int_{C_3} e^{izt^2} dt &= \int_{C_4} e^{izt^2} dt \sim i \int_0^\delta e^{iz(1+iv)^2} dv \\ &= i e^{iz} \int_0^\delta e^{-2zv} e^{-izv^2} dv, \quad x \rightarrow +\infty. \end{aligned}$$

利用 Laplace 方法

$$\begin{aligned} \int_0^\delta e^{-2zv} e^{-izv^2} dv &\sim \int_0^\delta e^{-2zv} \sum_{n=0}^{\infty} \frac{(-ix)^n v^{2n}}{n!} dv \\ &\sim \sum_{n=0}^{\infty} \frac{(-i^n)(2n)!}{2^{2n+1} n! x^{n+1}}, \quad x \rightarrow +\infty. \end{aligned}$$

由于 $(2n)!/(2^{2n}n!) = \Gamma\left(n + \frac{1}{2}\right)/\Gamma\left(\frac{1}{2}\right)$, 我们又重新准确地导出了式(6.6.8).

在这种计算中,我们是采用路径 C_4 (它开始的部分是直线)来代替曲线路径 C_3 . 这种方法是十分重要的计算手段,而且它在最陡下降法中常常是很有用处的. 应当注意的是,尽管 C_4 是 $|e^{xz(t)}|$ 下降的一条曲线,但它既不是等相位曲线也不是最陡下降曲线. 我们还可以采用其它的下陷曲线来代替 C_4 (参见习题 6.58).

例 3. 最陡下降法的复杂的实例. 广义 Fourier 积分

$$I(x) = \int_0^1 \exp(ixe^{-1/s}) ds \quad (6.6.10)$$

在 $x \rightarrow +\infty$ 时的主要性态是什么? 由于 $s=0$ 是一个无穷阶驻点 (即 $s \rightarrow 0+$ 时 $e^{-1/s}$ 的所有导数均为零), 因此本例需要一些复杂的技巧. 我们从讨论驻相法得知: 如果式(6.5.1)中的 ψ 在驻点的第一个非零导数为 $\psi^{(p)}$, 那么当 $x \rightarrow +\infty$ 时 $I(x)$ 必定按 $x^{-1/p}$ 方式趋于零. 所以我们可以预期, 如果被积函数有一个无穷阶驻点的话, 当 $x \rightarrow +\infty$ 时 $I(x)$ 趋于零的速度就要比 $1/x$ 的任意幂次都慢些. 但是 Riemann-Lebesgue 引理可以保证 $x \rightarrow +\infty$ 时 $I(x)$ 确实趋于零.